



# Fluorescence, Phosphorescence et autres Luminescences

Robert PANSU

pansu@ppsm.ens-cachan.fr

28/8/2013 21:51

# Plan

- Ce que l'on voit
- Introduction historique
- Diagrammes d'énergie
- Zoologie
- La cinétique de l'état excité
- Conclusion

# Applications

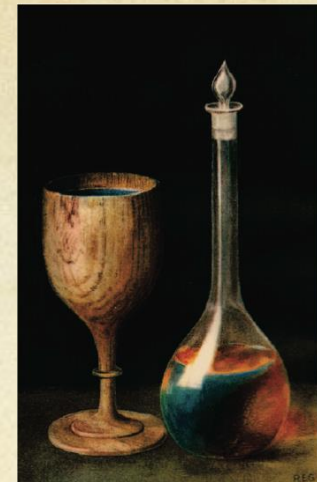
- Les azurants,
- Photovoltaïque,  
Thermoluminescence,
- Microscopie, Indicateurs, super  
résolution, Lasers
- L'acte chimique élémentaire,  
Oxymètres

# Sources en français

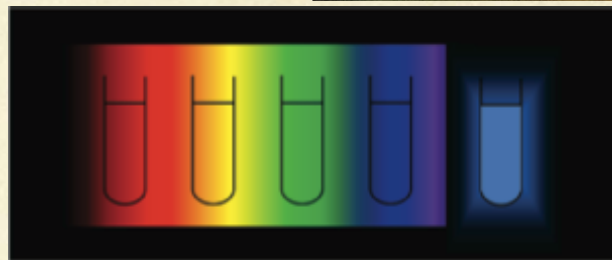
- (2002)(2012) B. Valeur and M. r. N. Berberan-Santos. *Molecular Fluorescence: Principles and Applications* Ed. Wiley-VCH Verlag GmbH & Co. KGaA.
- (2007) T.-H. Tran-Thi, P. Chazette, R. Dagnélie, J. Kasparian, I. Leray, L. Magne, H. Paolacci and B. Valeur. *Déetecter les polluants dans l'air et dans l'eau* l'actualité chimique. mai-juin 308-309.
- (2005) B. Valeur. *Lumière et luminescence* Ed. Belin.
- (2004) B. Valeur. *Invitation à la fluorescence moléculaire* Ed. De Boeck. 202.
- N°308-309 mai-juin 2007 N° thématique : La photochimie pour mieux vivre

# Historique

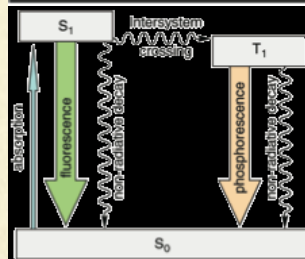
Monardes N. Dos Libros, Seville,  
Spain, 1569.



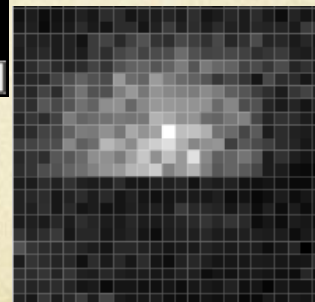
Stokes, G. G. Philos. Trans.  
1852, 142, 463–562.



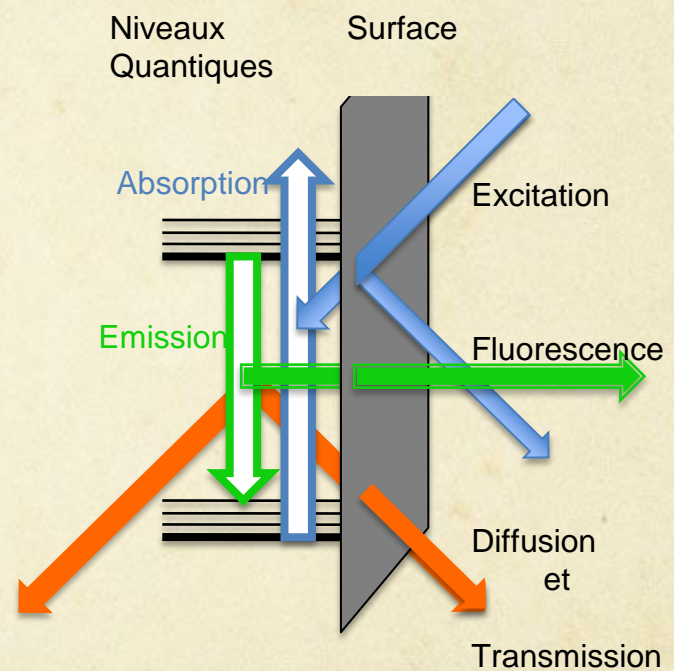
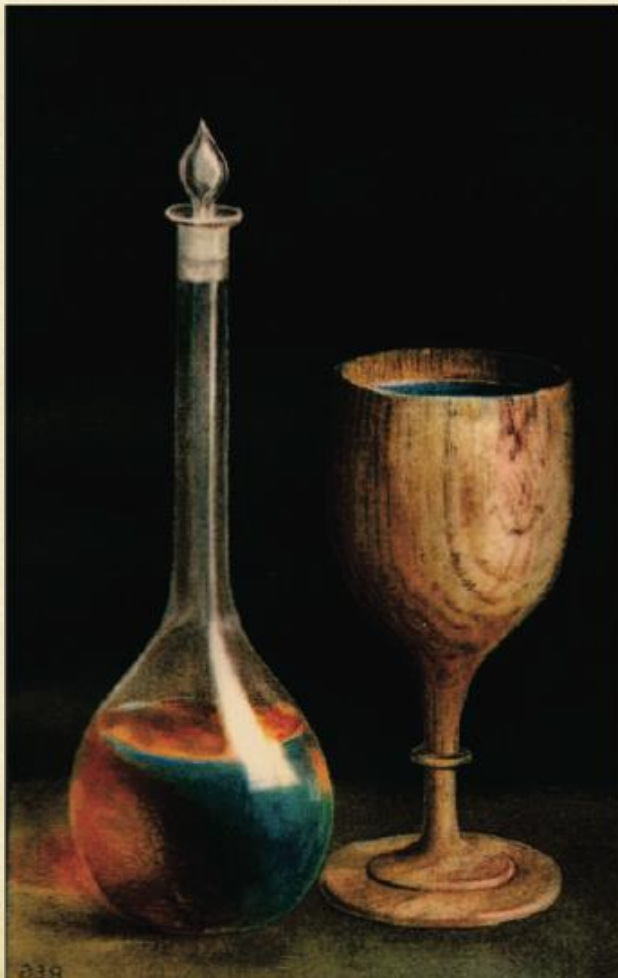
Perrin, F. Ann. Phys. (Paris, Fr.)  
1929, 12, 169–275.



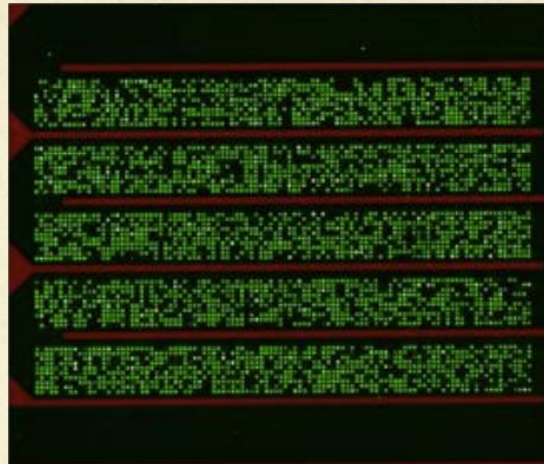
Orrit, M.; Bernard, J.  
Phys.Rev.Lett. 1990, 65, 2716.



# Ce que l'on voit



# Autour de nous



# Zoologie et diagramme d'énergie

Bande de  
Conduction



Bande de  
Valence

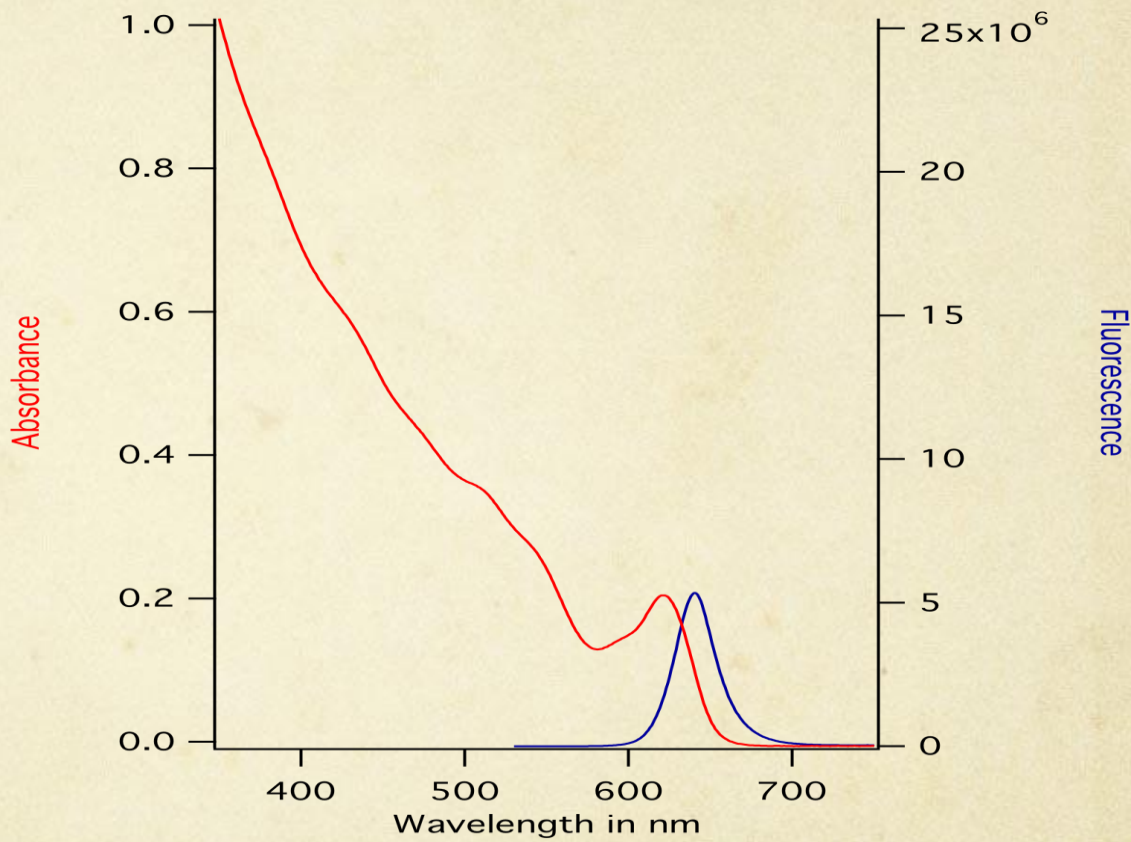
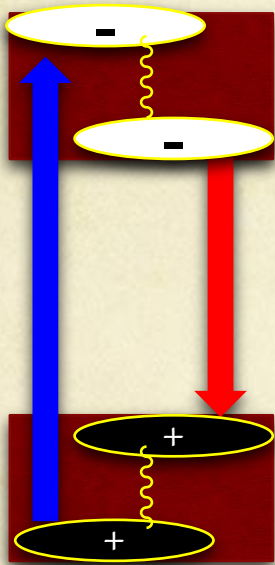


Semi Conducteurs	Défauts dans les Semi Conducteurs	Impureté dans les minéraux	Molécules fluorescentes en solution	Ions des métaux de transition	Lanthanides +3
CdSe	ZnO	Ni,	Fluorescéine	$\text{Ru}^{+3}, \text{Ir}^{+3}$	Tb, Eu, Dy,
CdSe/ZnS		NV/Diamant	Fl. Protéines	$\text{UO}_2^{+2}$	Nd, Er, Yb

# Semi-conducteurs

Bande de Conduction

Bande de Valence



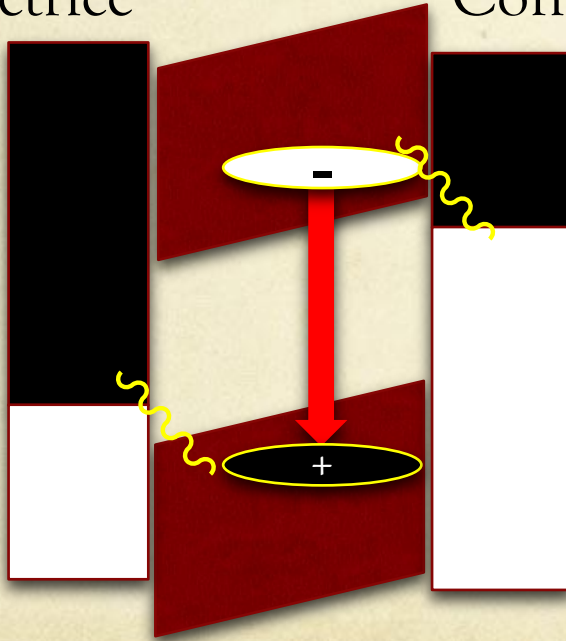
# Résumé

- Photoluminescence :
  - Excitation d'un seul électron
  - Relaxation dissipative
  - Equilibre thermodynamique de l'état excité
  - Emission de photon en compétition avec les désactivations non radiatives
  - Déplacement de stokes
  - Principe de Jablonski
  - Réactivité des états excités
  - Rendement de fluorescence

# Diode Electro Luminescente

Anode  
Conductrice

Cathode  
Conductrice



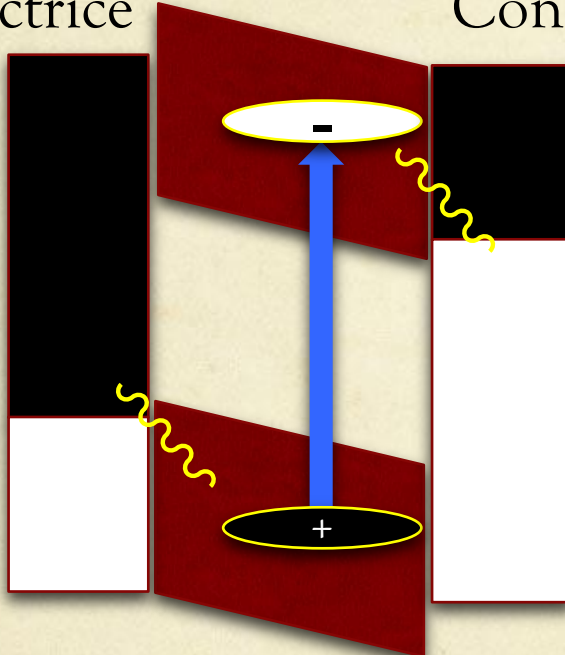
ITO

Ca

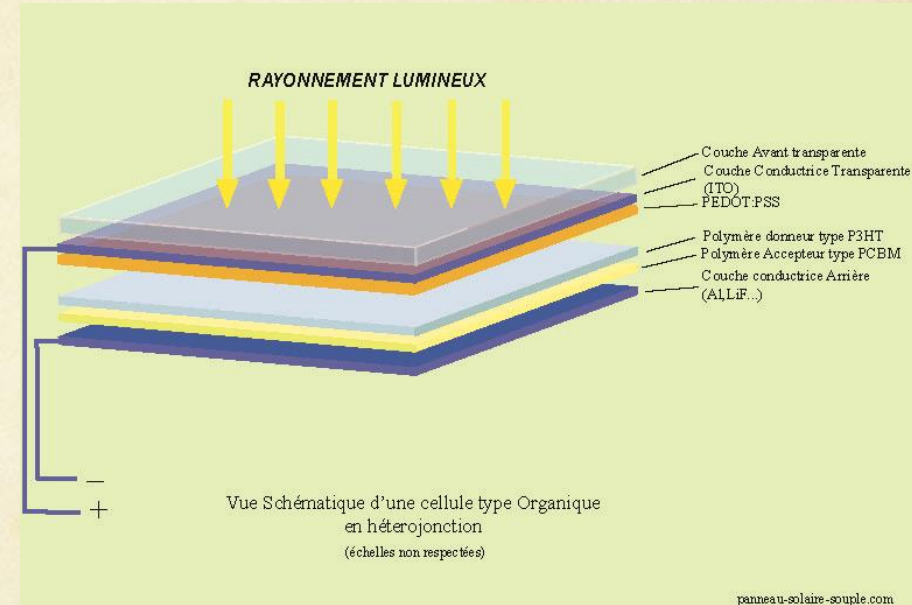


# Photo-Voltaïque

Anode  
Conductrice



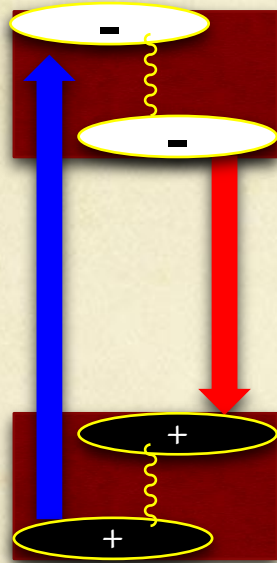
Cathode  
Conductrice



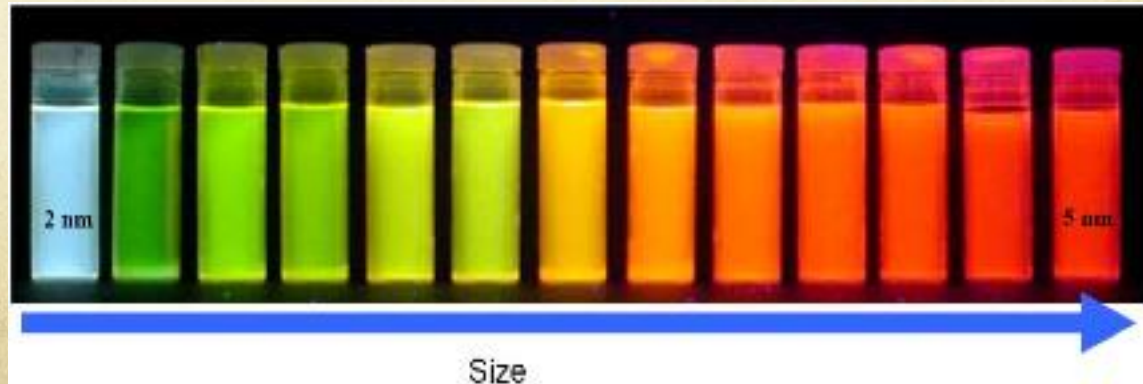
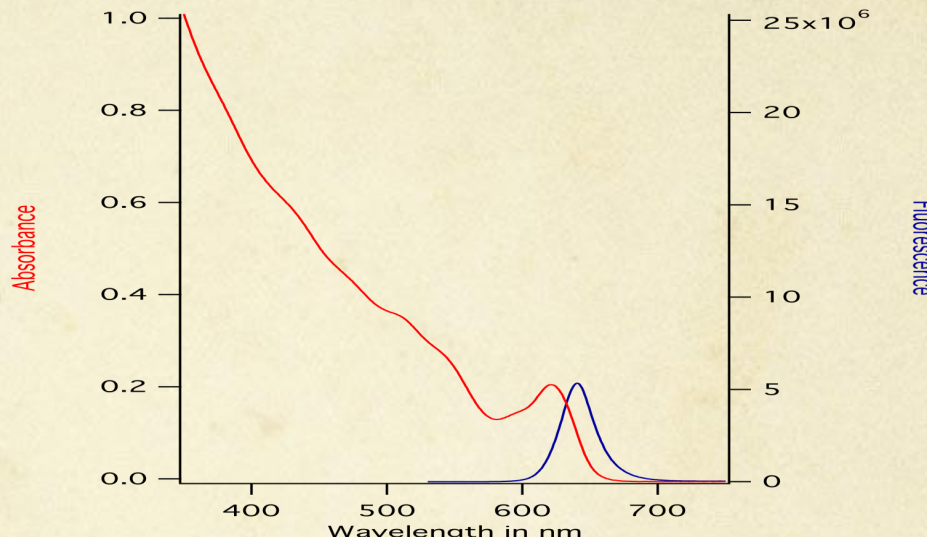
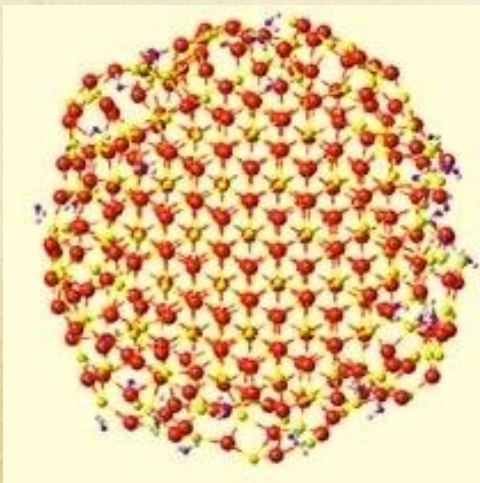
# Semi-conducteurs

Bande de Conduction

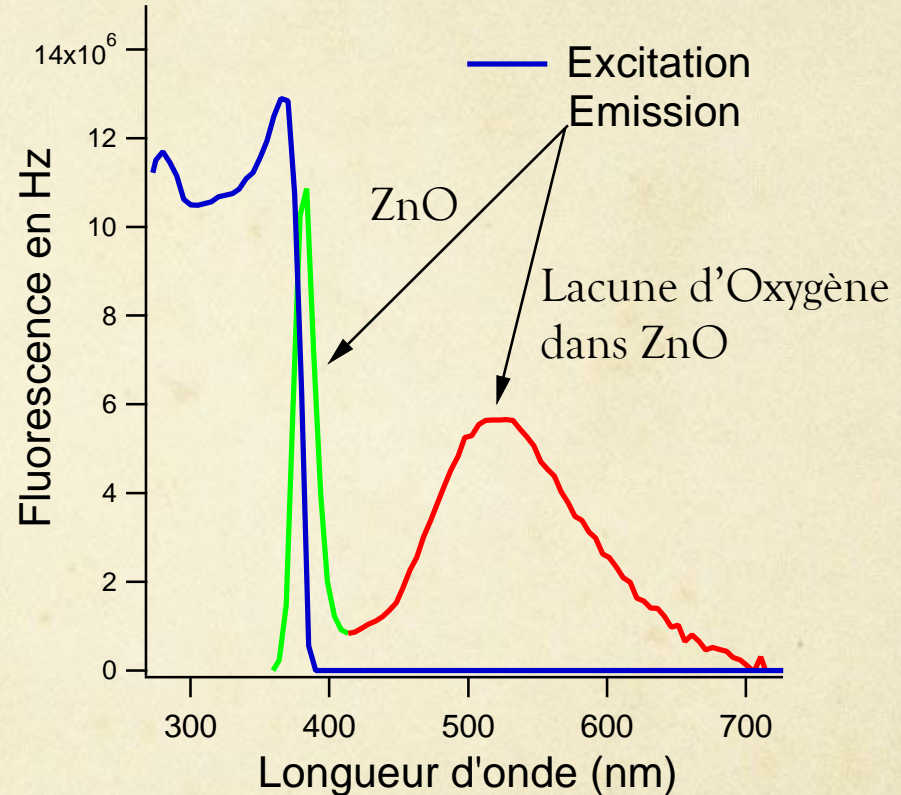
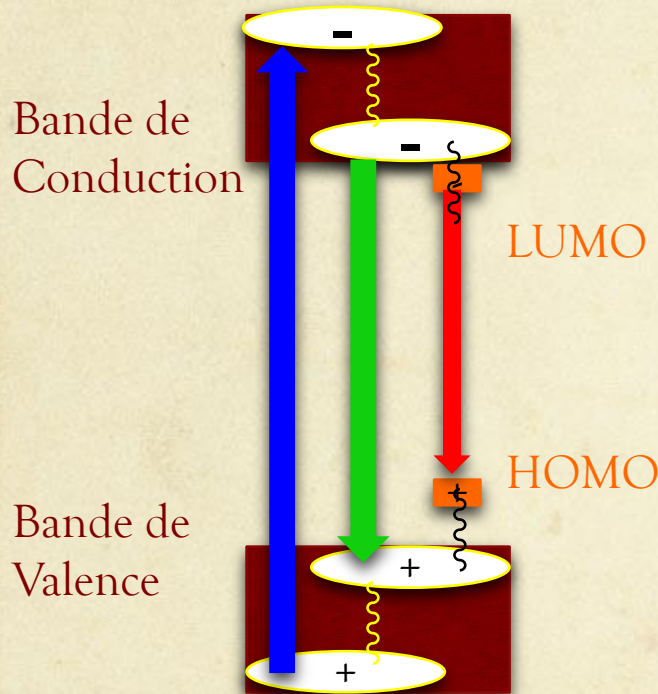
Bande de Valence



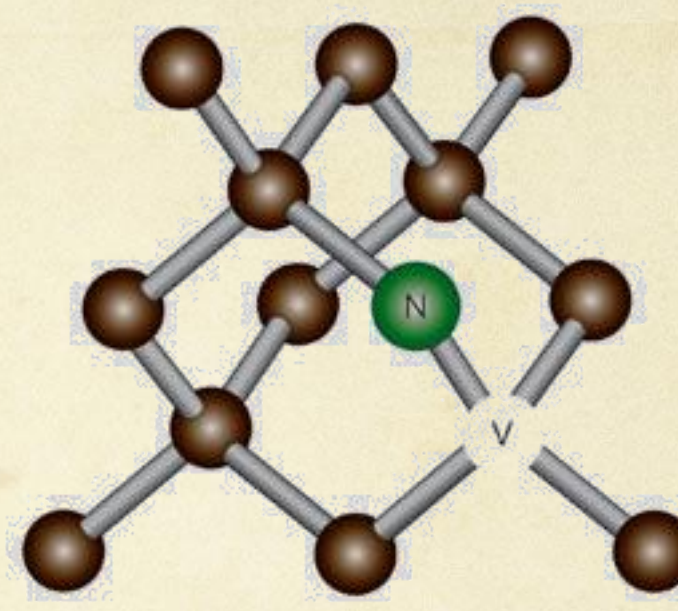
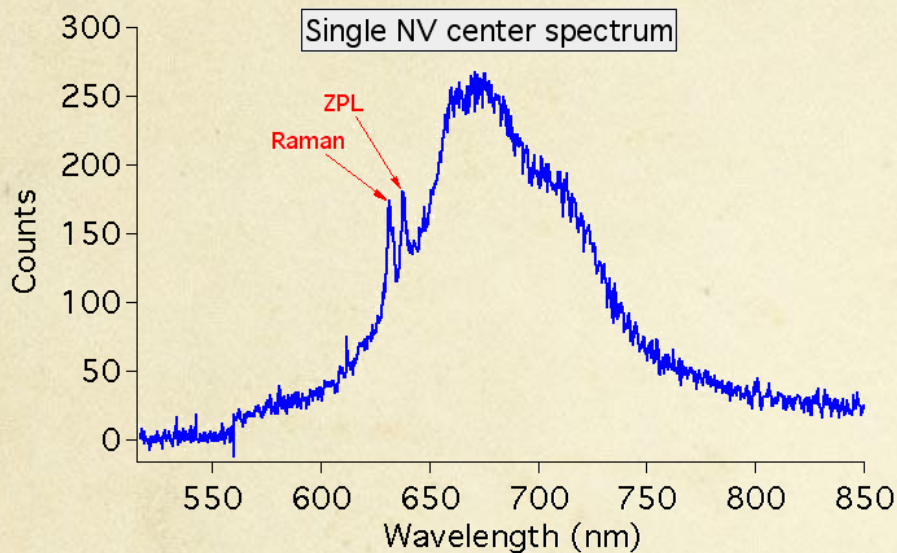
CdSe



# Défauts dans les Semi-conducteurs



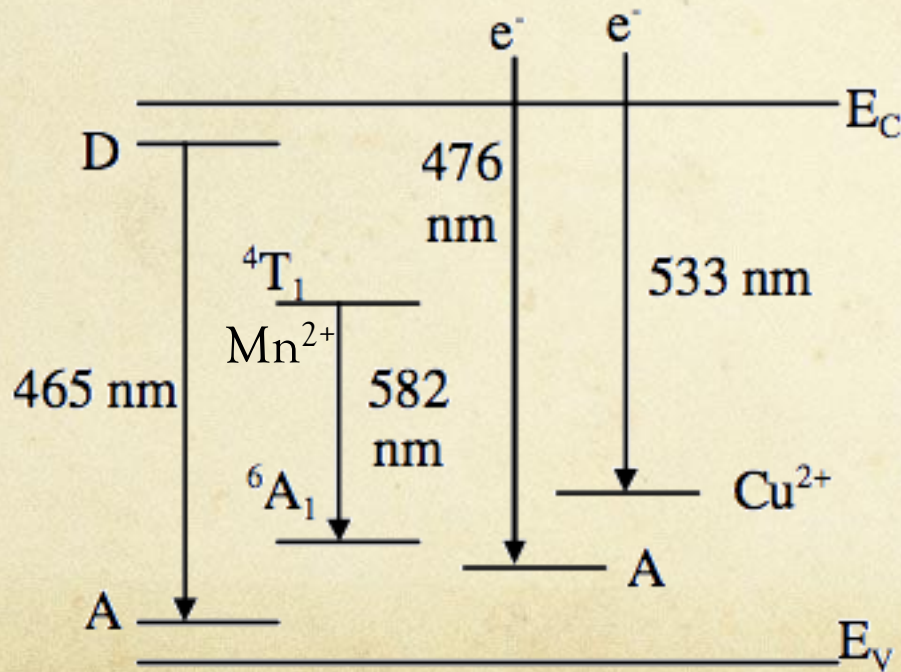
# Impuretés dans le diamant



Spectroscopic and laser parameters of H3, NV and NE4 diamond color centers						
Color center	Absorption (nm)	Emission (nm)	Lifetime (ns)	Em. Width (nm)	Em. Cross-1E-20 m <sup>2</sup>	
H3 V-N-V	490	525	16	60	1,6	
NV N-V	565	690	13	120	3,2	
NE4 V-Ni-V	670	950	27	100	6,2	

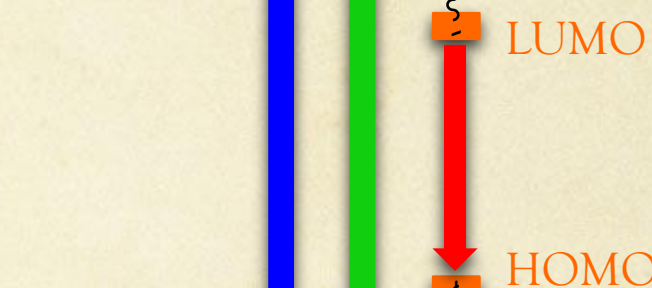
# Impureté du Semi Conducteur

$\text{Cu}^{2+}, \text{Mn}^{2+}, \text{Co}^{2+}/\text{ZnS}$

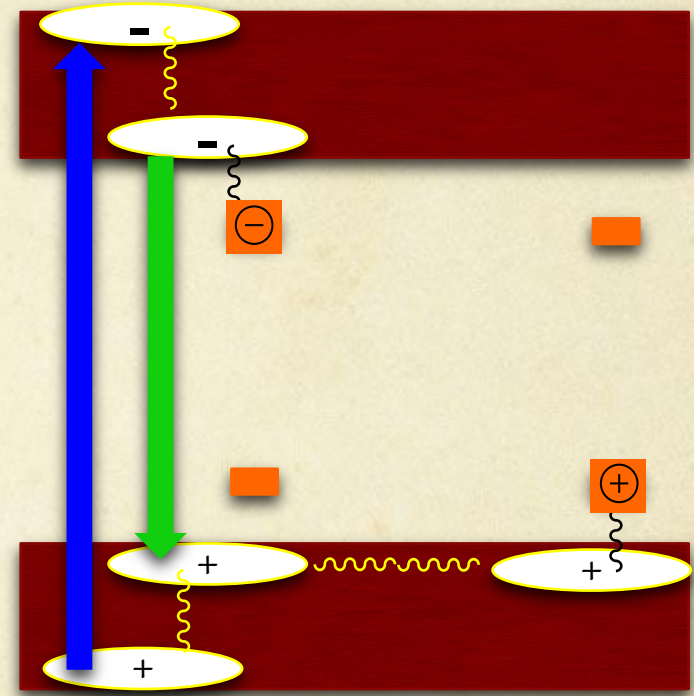
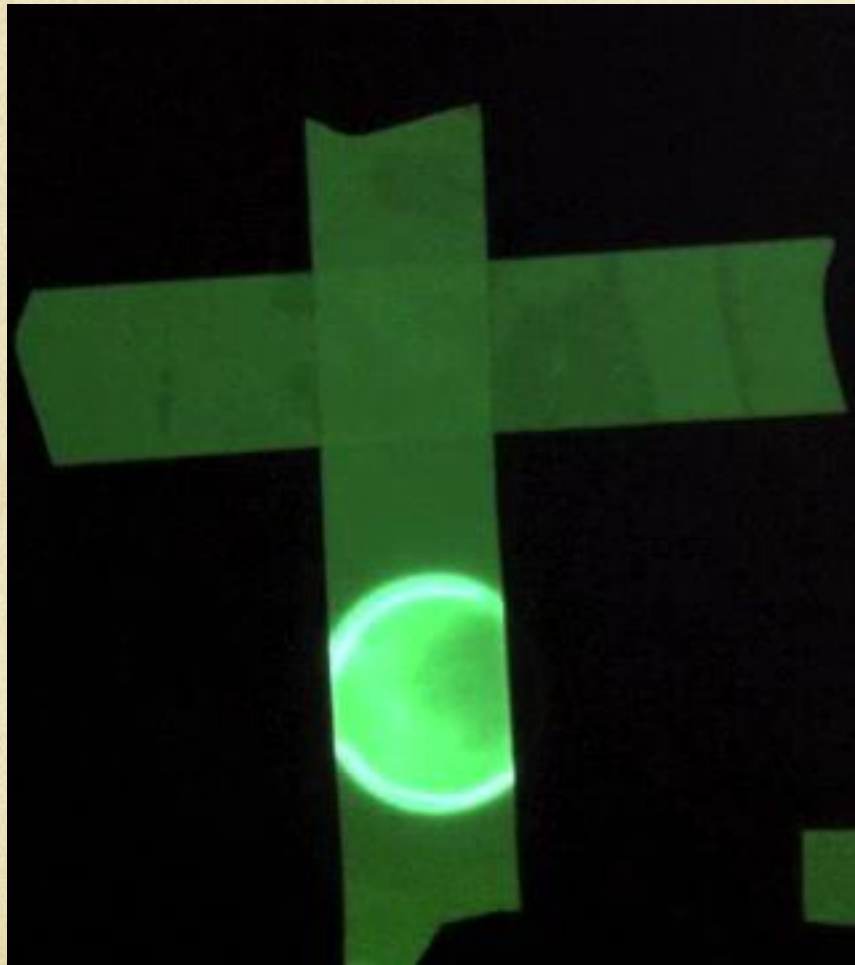


Bande de  
Conduction

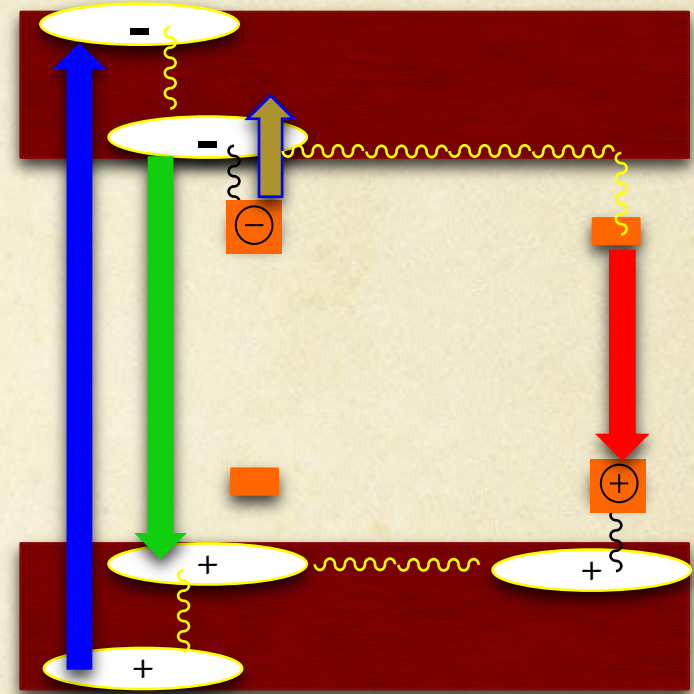
Bande de  
Valence



# Thermoluminescence et Photo-dépiégeage

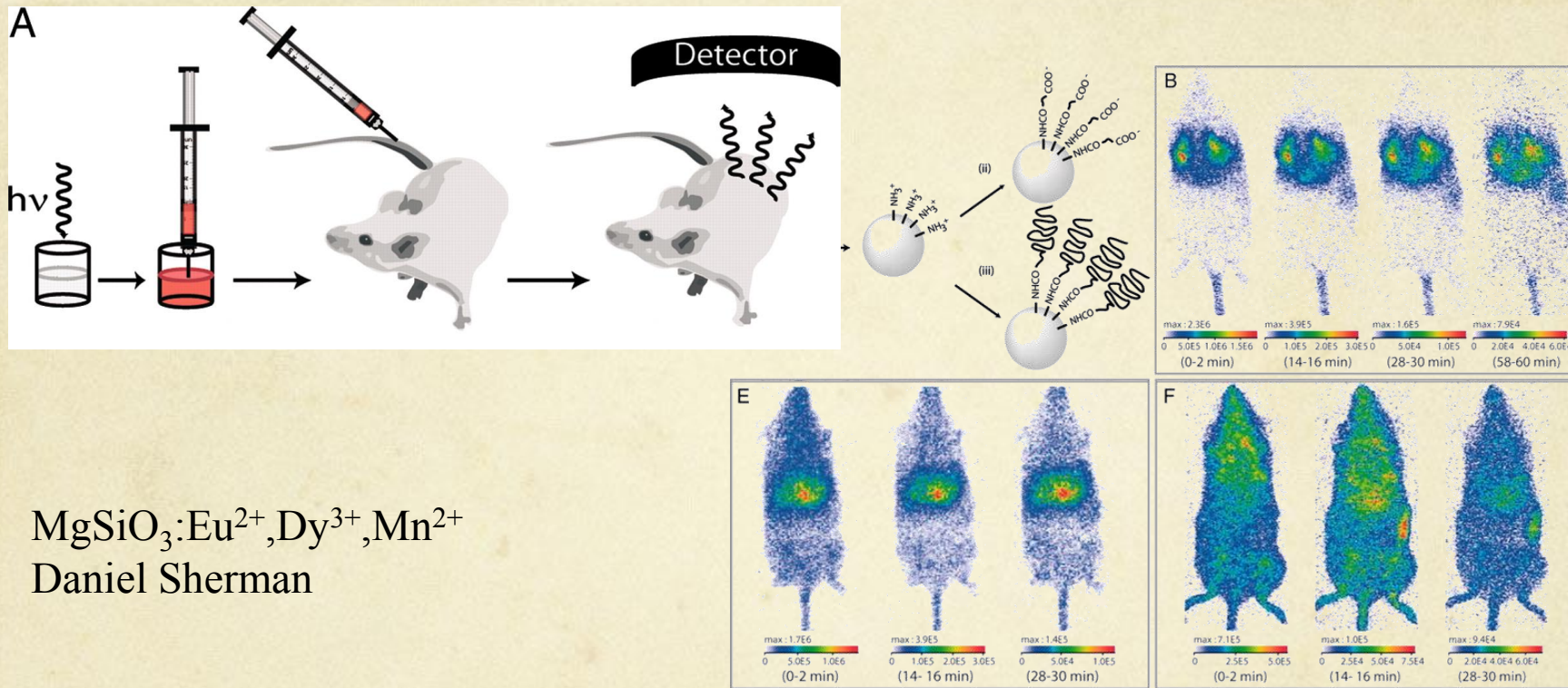


# Thermoluminescence et Photo-dépiégeage



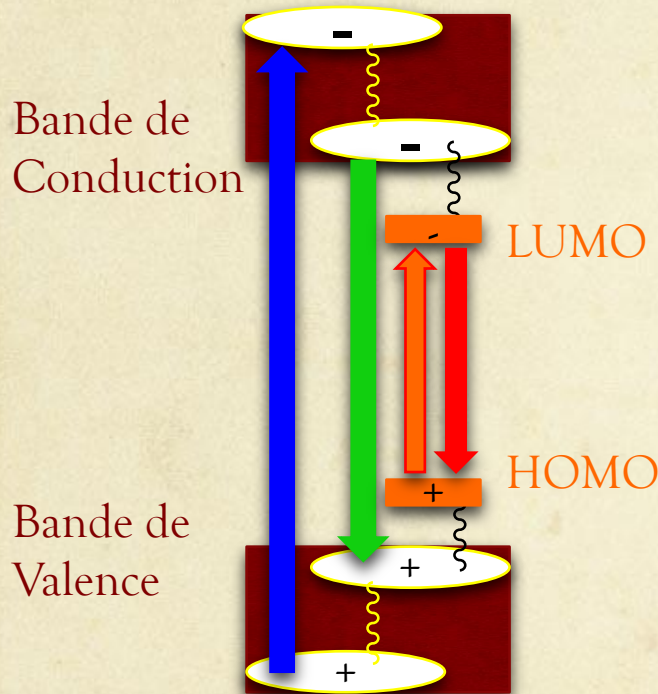
(1)Schwankner, R.; Eiswirth, M.; Venghaus, H. J. Chem. Ed. 1981, 58, 806.

# Fonctionnalisation de surface et vectorisation

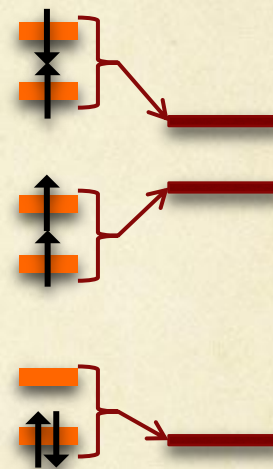
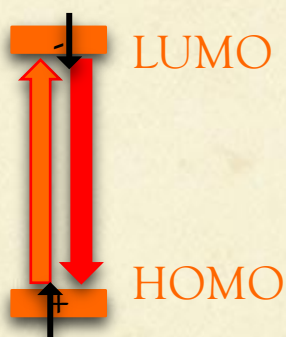


Le Masne de Chermont Q et al. PNAS 2007;104:9266-9271

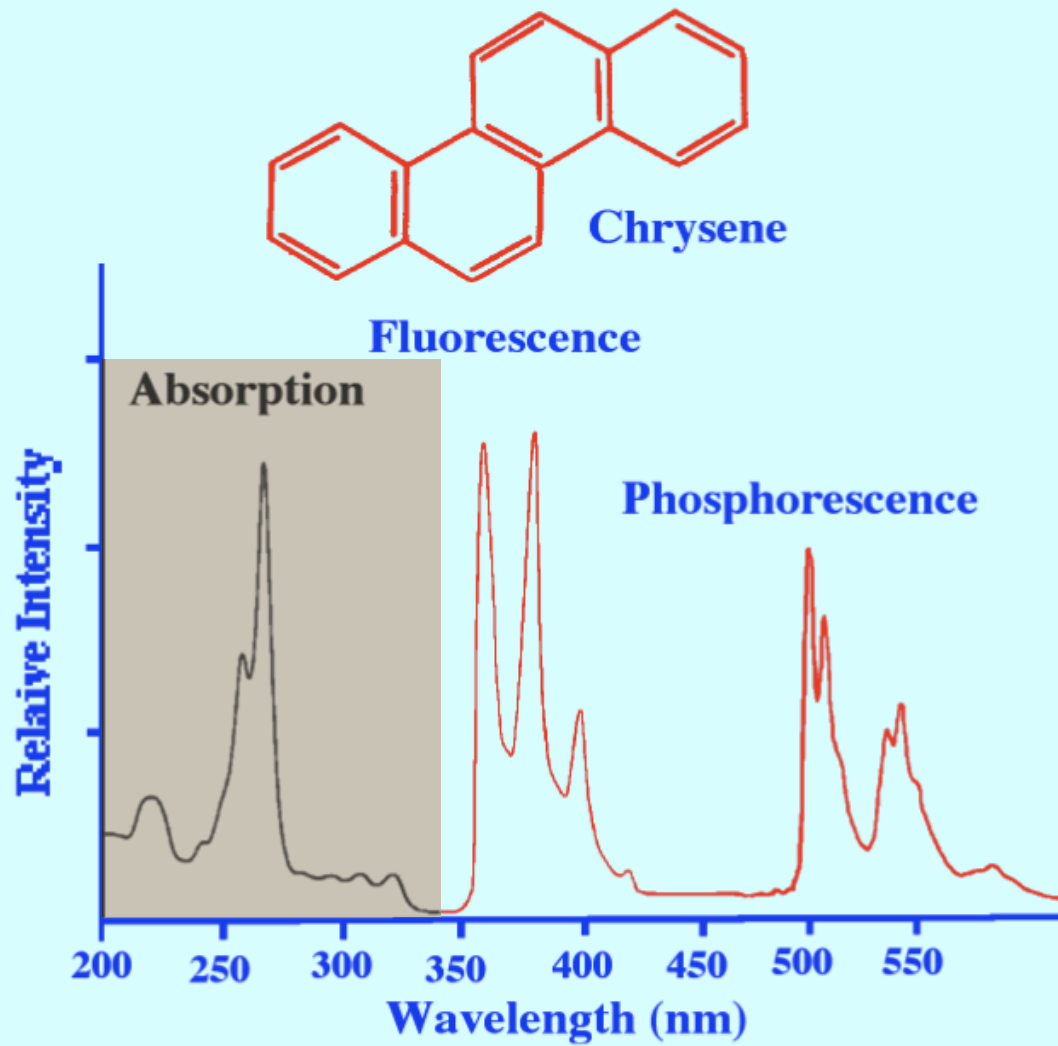
# Fluorescence et Phosphorescence des molécules organiques



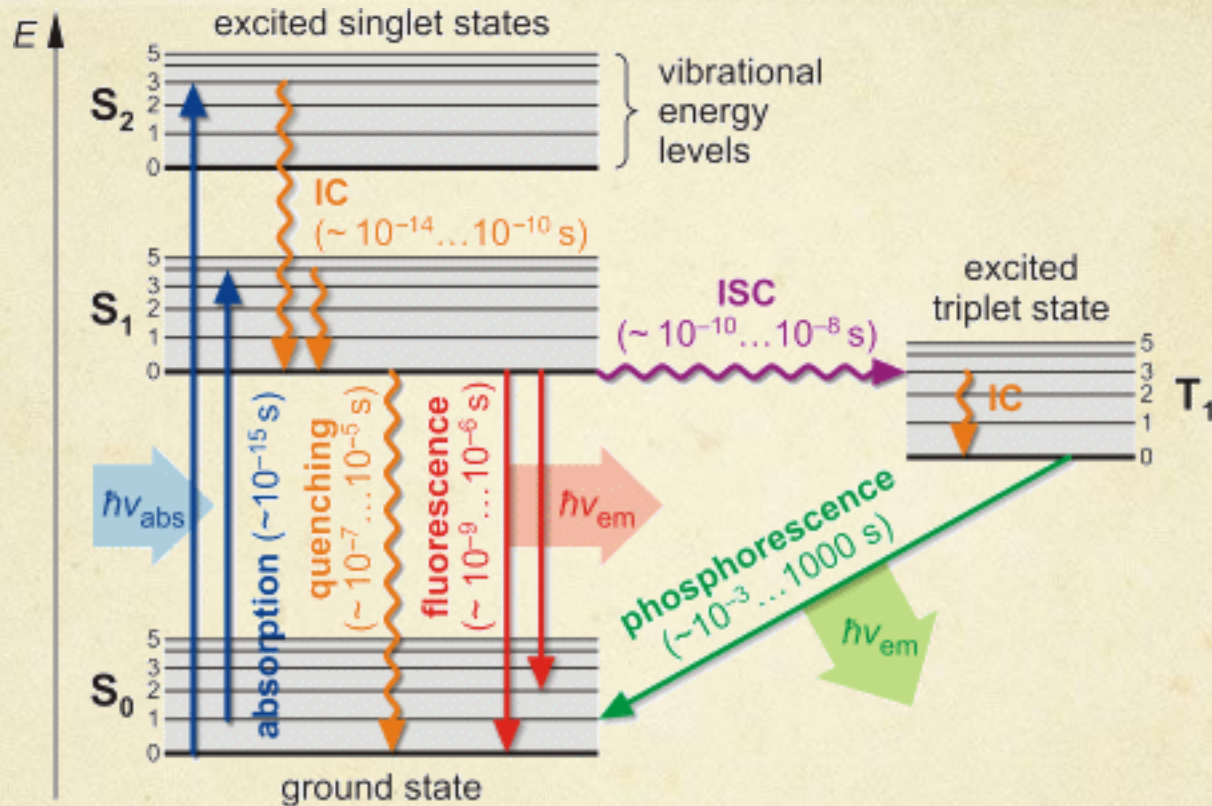
Configurations électroniques      Etats Quantiques



# Fluorescence et Phosphorescence des molécules organiques

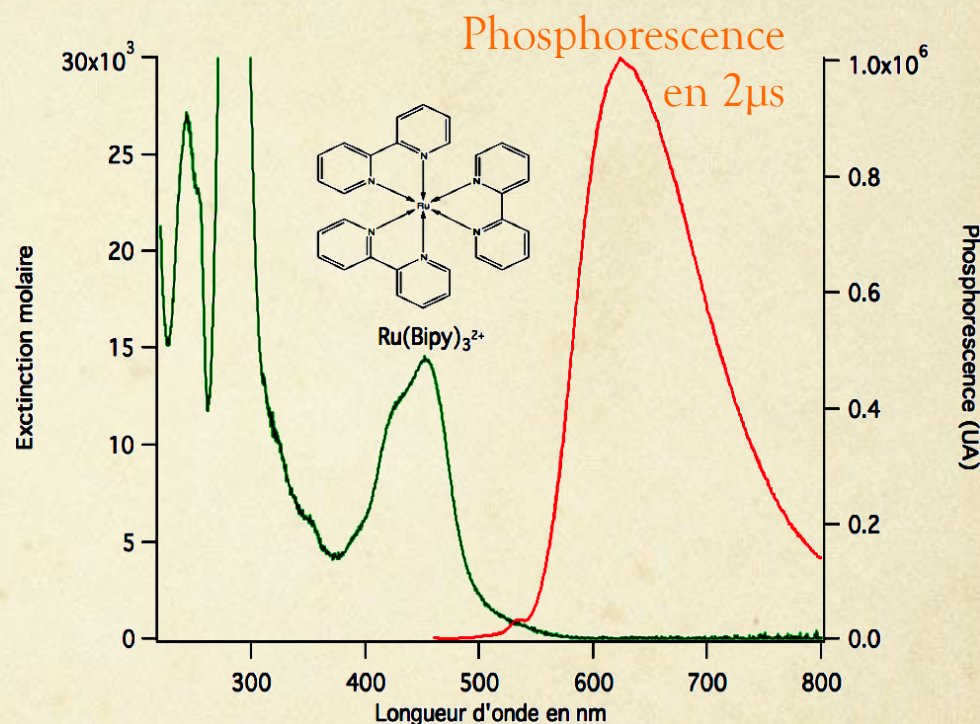
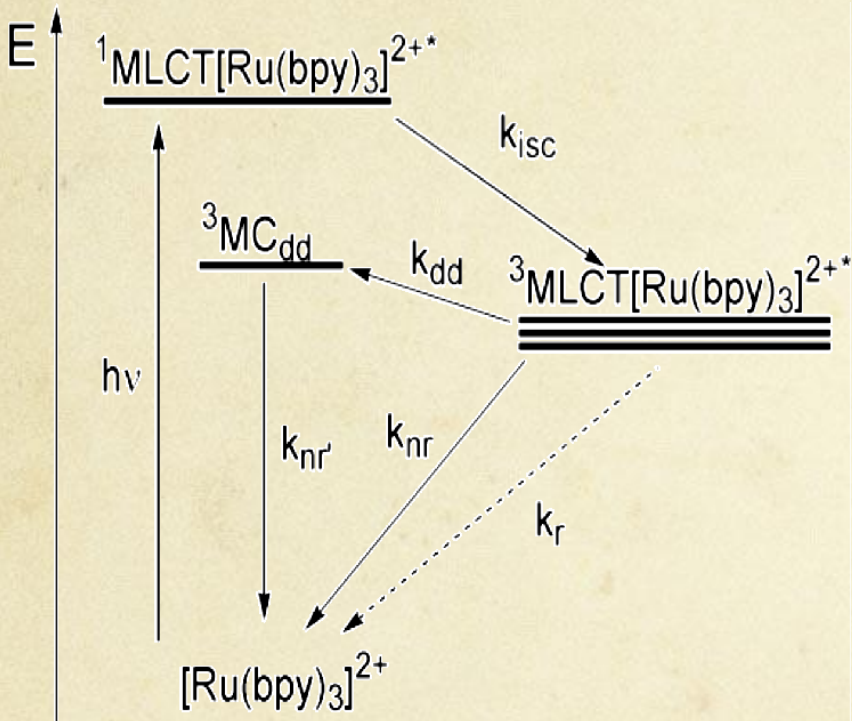


# Fluorescence et Phosphorescence des molécules organiques



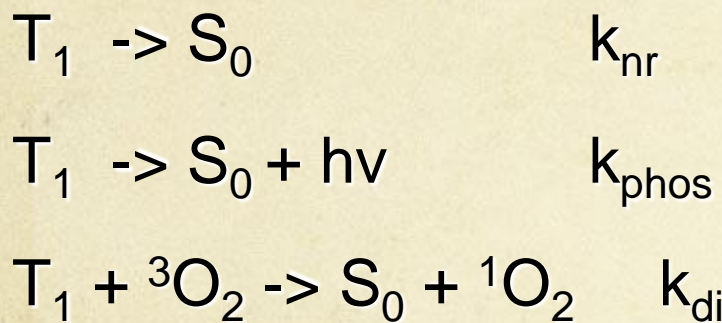
J.B. Birks. Photophysics of aromatic molecules. 1970  
Drawing from diploma thesis of Steve Pawlizak, 2009.

# Complexe de Ru<sup>+3</sup> et Ir<sup>+3</sup>

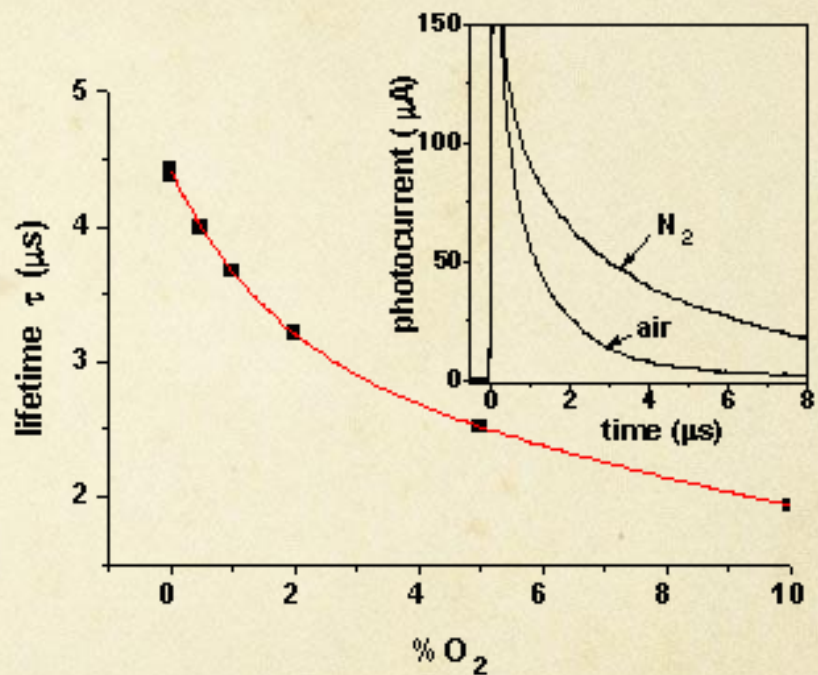


Maruszewski, K. et al. (1993) JACS **115** (18) 8345-50.

# Détection O<sub>2</sub>



$$\frac{d[T]}{dt} = - (k_{nr} + k_{phos})[T] - k_{diff} [O_2] [T]$$



# Fluorescence, Phosphorescence et autres luminescences

## la « Phosphorescence » de Cu,Mn,Co/ZnS

[http: IUPAC > Gold Book > alphabetical index > phosphorescence :](http://IUPAC%20>%20Gold%20Book%20>%20alphabetical%20index%20>%20phosphorescence)

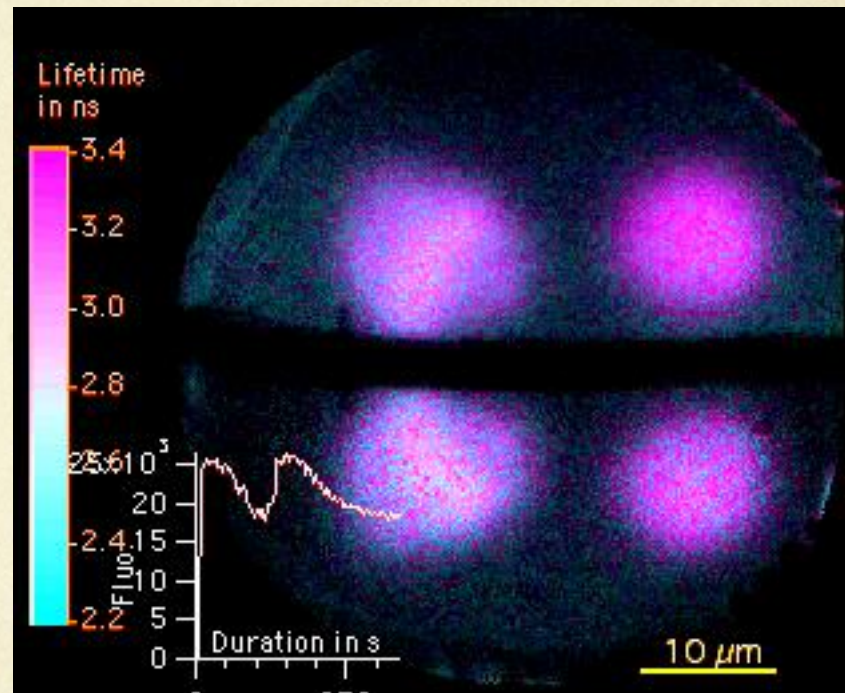
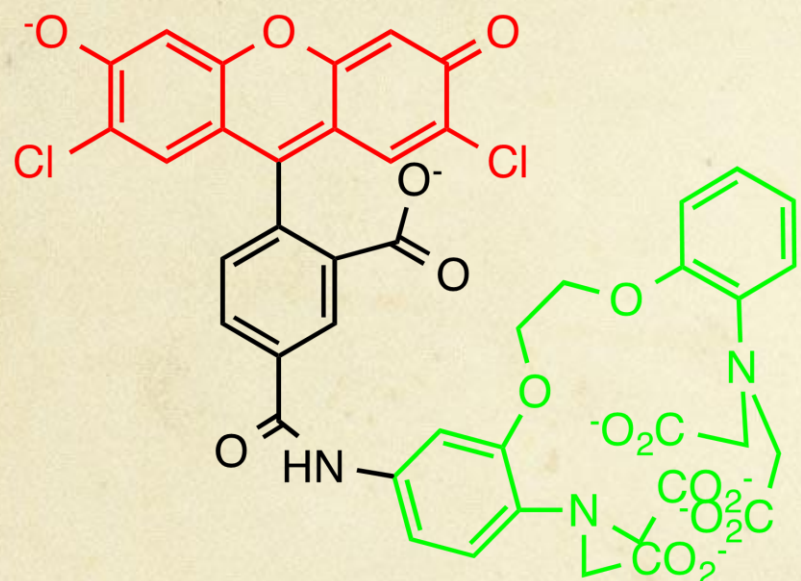
The term has been used to describe long-lived luminescence. The term designates luminescence involving change in spin multiplicity.

	Cu/ZnS	Mn/ZnS	Co/ZnS
Luminescence longue	😊	😊	😊
Non conservation du Spin	??	😊 $^4T_1 \rightarrow ^6A_1$	😩 $^4T_1 \rightarrow ^4A_2$
Thermo luminescence	😊	😊	
Photo dépiégeage	😊		
	??	Phosphore- scence Retardée	Fluoresce- nce Retardée

# Applications



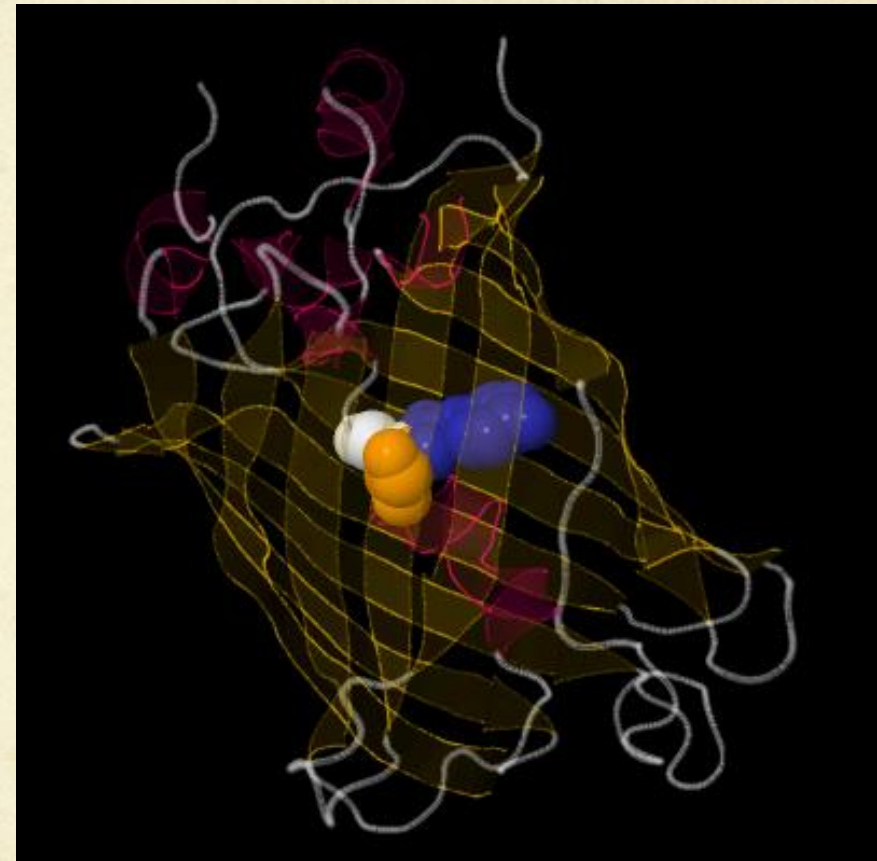
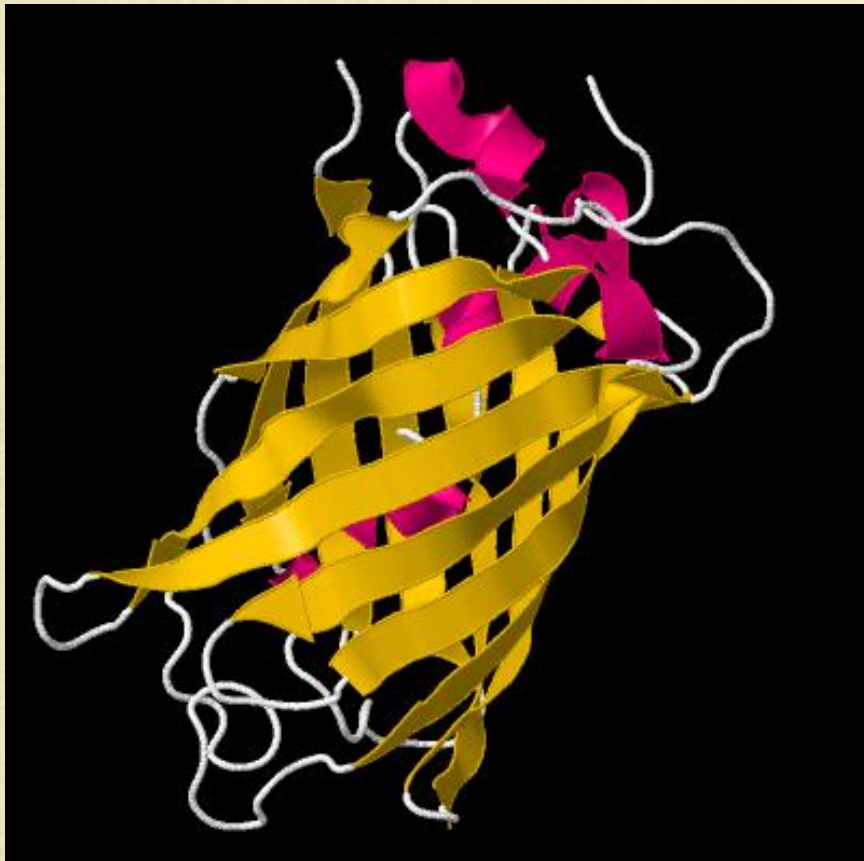
# Indicateurs fluorescents



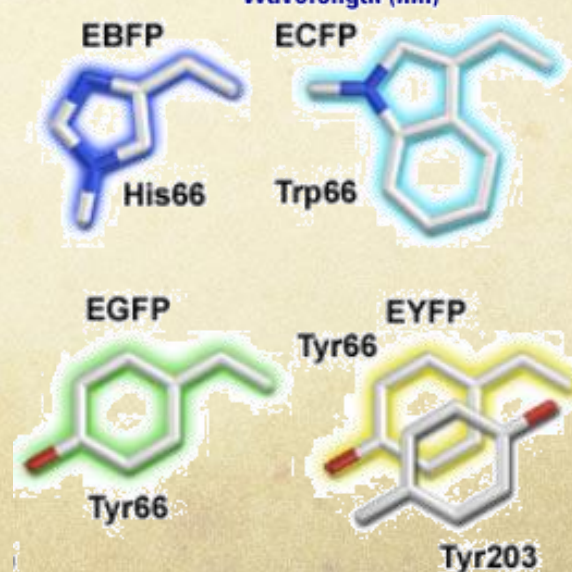
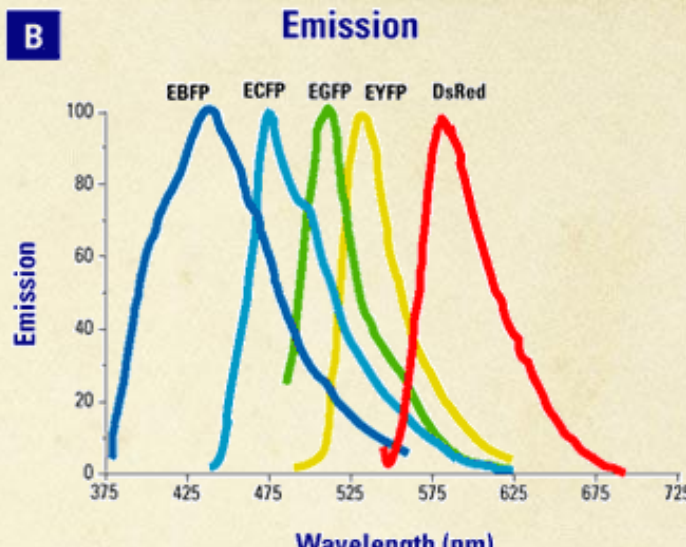
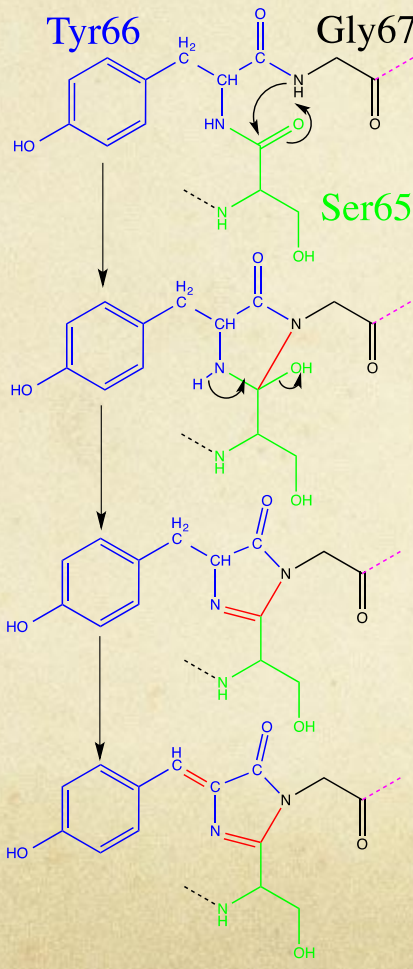
Tsien, R. Y. Biochemistry 1980, 19, 2396.

Valeur, B. <http://www.theses.fr/?q=%22Fluoroionophore%22>

# Les protéines fluorescentes



# Protéines fluorescentes



# La super résolution

**Photoactivated Localization Microscopy**

The diagram illustrates the PALM process. On the left, a circular region is outlined by a dashed line, labeled "Readout Beam ON". Inside this region, several green dots represent molecules, with three highlighted in orange and enclosed in white squares. On the right, a 3D model of a protein structure composed of red ribbons is shown. A green wavy line represents the readout beam path, which passes through the protein structure, illuminating the localized molecules. Below the diagram, a dark blue bar contains the text "Image Activated Molecules".

**PALM Process**

A horizontal timeline diagram showing the sequence of the PALM process. It consists of a series of small, light-blue rectangular boxes arranged in a line, representing individual localization events or frames. Above this line is a thick, light-blue horizontal bar.

**Choose a Specimen**

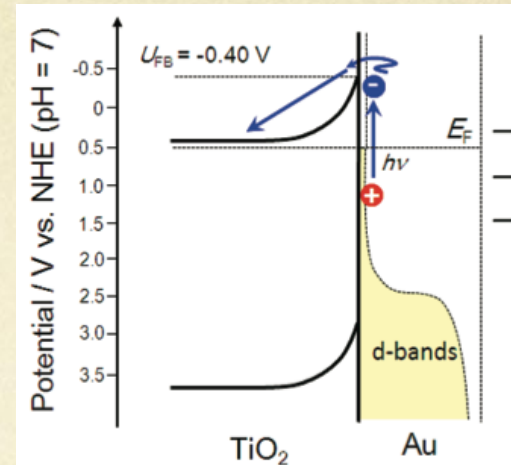
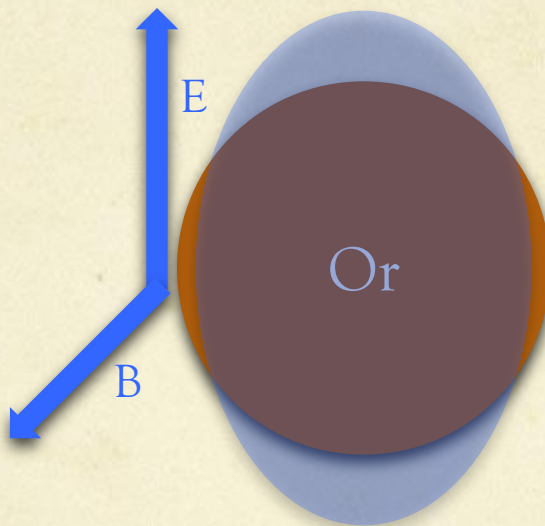
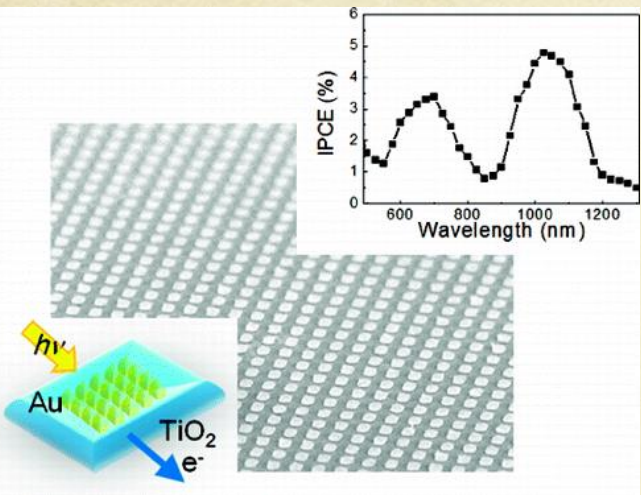
Eos FP ▾

# Conclusions

- Les diagrammes d'énergie permettent de décrire
  - Le déplacement de Stokes
  - Luminescence indépendante du mode d'excitation
  - Concept commun avec l'électronique
- De nombreuses applications
- Les prochains matériaux luminescents

# Perspectives

## ○ Plasmon



Misawa, H. et al. J. Phys. Chem. Letters 2010, 1, 2031.

## ○ Thermo-Luminescence

# Bibliographie

- Valeur, B. (2002) "Molecular fluorescence : principles and applications" Weinheim, Wiley-VCH 387 Pages.
- Werts, M. H. V. (2005) "Making sense of lanthanide luminescence" Science Progress 88 (Part 2) 101-31.
- Lakowicz, J. R. (2006) Principles of fluorescence spectroscopy Springer
- Cowan, R.D. (1981) Theory of Atomic Structure & Spectra, UCP, Berkley, p. 598-613  
(Lanthanide/Actinide Configurations)
- Cox, P.A. (1987) The Electronic Structure and Chemistry of Solids, OUP, , p.137-145 (Lanthanides)
- West, A.R. (1984) [Solid State Chemistry](#), Wiley, London, Ch. 16 (Magnetism), Ch 17. (Optical Properties)
- Topics in Fluorescence Spectroscopy Lakowicz, Joseph R. (Eds.) chez Springer
- d

# Distribution of populations

m: number of quenching sites, p: occupation probability, n: number of quenchers,

$$I_f(t) = I_f(0) \prod_{n=0}^m C_m^n p^n (1-p)^{m-n} \exp\left(-k_f t - \int_0^t g(u) du\right)$$

$$I_f(t) = I_f(0) \exp(-k_f t) \left( p + (1-p) \exp\left(\int_0^t g(u) du\right)\right)^m$$

$$\ln\left(\frac{I_f(t)}{I_f(0)}\right) \rightarrow -k_f t - m \int_0^t k_Q(u) du \quad \text{as } p \rightarrow 1$$

$$\ln\left(\frac{I_f(t)}{I_f(0)}\right) \rightarrow -k_f t + mp \left\{ \exp\left(-\int_0^t k_Q(u) du\right) - 1 \right\} \quad \text{as } p \rightarrow 0$$

# Chimi- Bio- Luminescence

